

# 急性主动脉夹层患者血浆 miR-30a 及 D- 二聚体水平检测对临床预后判断价值

黄英，陈兰，周英艳，肖爱芪

(海口市第三人民医院心血管科，海口 571100)

**摘要：**目的 探讨血浆微小核糖核酸 (miR)-30a 及 D- 二聚体 (D-dimer, D-D) 水平对急性主动脉夹层 (acute aortic dissection, AAD) 预后判断价值。方法 选取 2018 年 1 月 ~ 2020 年 12 月海口市第三人民医院收治的 AAD 患者 152 例和 65 例健康对照组作为研究对象，根据 AAD 患者住院期间的预后情况分为存活组 ( $n=107$  例) 和死亡组 ( $n=45$  例)，检测各组血浆 miR-30a 及 D- 二聚体水平。应用受试者工作特征 (ROC) 曲线分析血浆 miR-30a 及 D- 二聚体水平预测 AAD 死亡的价值。结果 AAD 组血浆 miR-30a ( $1.93 \pm 0.78$ ) 及 D- 二聚体 ( $6.28 \pm 1.72 \mu\text{g/ml}$ ) 水平均明显高于对照组 ( $0.72 \pm 0.25$ ,  $0.36 \pm 0.08 \mu\text{g/ml}$ )，差异有统计学意义 ( $t=13.758$ ,  $16.814$ , 均  $P<0.001$ )。死亡组血浆 miR-30a ( $2.42 \pm 1.13$ ) 及 D- 二聚体 ( $8.62 \pm 2.24 \mu\text{g/ml}$ ) 水平均明显高于存活组 ( $1.30 \pm 0.56$ ,  $3.64 \pm 1.35 \mu\text{g/ml}$ )，差异有统计学意义 ( $t=11.624$ ,  $14.735$ , 均  $P<0.001$ )。ROC 曲线显示，miR-30a 及 D- 二聚体两项联合预测 AAD 死亡的曲线下面积 (0.936, 95%CI: 0.875 ~ 0.992) 最大，其敏感度和特异度分别为 94.0%，88.6%。结论 AAD 患者血浆 miR-30a 及 D- 二聚体水平明显升高，两项联合检测对 AAD 预后判断具有较好的价值。

**关键词：**急性主动脉夹层；微小核糖核酸；D- 二聚体

**中图分类号：**R543.1；R446.11 **文献标识码：**A **文章编号：**:1671-7414 (2022) 03-187-04

doi:10.3969/j.issn.1671-7414.2022.03.039

## Clinical Prognostic Value of Plasma miR-30a and D-dimer Levels in Patients with Acute Aortic Dissection

HUANG Ying, CHEN Lan, ZHOU Ying-yan, XIAO Ai-qi

(Department of Cardiovascular, the Third People's Hospital of Haikou, Haikou 571100, China)

**Abstract:** **Objective** To investigate the value of plasma miR-30a and D-dimer(D-D) levels in prognosis of acute aortic dissection (AAD). **Methods** The 152 AAD patients and 65 healthy controls in the Third People's Hospital of Haikou from January 2018 to December 2020 were selected as the research objects. According to the prognosis of AAD patients during hospitalization, they were divided into survival group ( $n=107$ ) and death group ( $n=45$ ). The levels of plasma miR-30a and D-dimer were detected in each group. The value of plasma miR-30a and D-dimer levels in prediction of death in AAD were analyzed by ROC curve. **Results** The levels of miR-30a ( $1.93 \pm 0.78$ ) and D-dimer ( $6.28 \pm 1.72 \mu\text{g/ml}$ ) in AAD group were significantly higher than those in control group ( $0.72 \pm 0.25$ ,  $0.36 \pm 0.08 \mu\text{g/ml}$ ), the differences were statistically significant ( $t=13.758$ ,  $16.814$ , all  $P<0.001$ ). The levels of miR-30a ( $2.42 \pm 1.13$ ) and D-dimer ( $8.62 \pm 2.24 \mu\text{g/ml}$ ) in the dead group were significantly higher than those in the survival group ( $1.30 \pm 0.56$ ,  $3.64 \pm 1.35 \mu\text{g/ml}$ ), the differences were statistically significant ( $t=11.624$ ,  $14.735$ , all  $P<0.001$ ). ROC curve showed that the area under the area under the curve (0.936, 95%CI: 0.875~0.992) of the two combined predictors of AAD death were the largest, with sensitivity and specificity of 94.0%, 88.6%. **Conclusion** The levels of plasma miR-30a and D-dimer in patients with AAD were significantly increased, and the combined of the two items has a better value in the prognosis of AAD.

**Keywords:** acute aortic dissection; miR-30a; D-dimer

急性主动脉夹层 (acute aortic dissection, AAD) 是一种极为严重的心血管急症，其病情凶险、病死率高，若未能及时诊断治疗，AAD 发生后 48 h 内的病死率高达 50%<sup>[1]</sup>。准确地对 AAD 进行预后判断，并采取有效的治疗措施，对降低患者的病死率具有

重大帮助。微小核糖核酸 (microRNA, miRNA) 是一类单链非编码小分子 RNA，参与多种信号通路的调节，在 AAD 的发生发展中起到重要的作用<sup>[2]</sup>。有研究发现，miR-30a 在 AAD 中异常表达，参与细胞外基质重塑、氧化应激等重要功能的调节，有

望成为治疗AAD的潜在靶点<sup>[3]</sup>。D-二聚体(D-dimer, D-D)作为反映体内纤溶活性的重要指标,对评估AAD患者的病情及预后具有一定的价值<sup>[4]</sup>。本研究通过检测AAD患者血浆miR-30a及D-二聚体水平,分析其对AAD预后判断的价值,旨在为AAD的救治提供参考依据。

## 1 材料与方法

**1.1 研究对象** 选取2018年1月~2020年12月海口市第三人民医院收治的AAD患者152例,其中男性114例,女性38例,年龄36~79(54.80±11.24)岁。纳入标准:①经主动脉CT血管成像明确诊断为AAD;②临床病例资料记录完整。排除标准:①并发其他心血管疾病及严重基础病;②不愿意配合本次研究者。152例AAD患者根据住院期间存活情况分为存活组( $n=107$ )和死亡组( $n=45$ )。另选取65例体检正常者作为对照组,其中男性47例,女性18例,年龄35~78(53.70±9.82)岁。各组的性别、年龄及体质指数比较,差异均无统计学意义(均 $P>0.05$ )。本研究与患者签署知情同意书。

**1.2 仪器与试剂** 7500型荧光定量PCR仪(美国ABI公司);PCR试剂盒, RNeasy试剂盒, miRNA Easy试剂盒和Trizol试剂盒(博士德生物有限公司);贝克曼ACL7000全自动凝血分析仪。

## 1.3 方法

**1.3.1 miR-30a检测:**采集静脉血3ml于EDTA抗凝管中,离心分离血浆,在ABI 7500型荧光定量PCR仪上检测miR-30a水平。逆转录反应体系为15μl:5μl RNA模板,3μl U6及miRNA特异性茎环引物,0.15μl 100mmol/L脱氧核糖核苷酸,1.00μl逆转录酶,1.50 μl 10×反转录缓冲液,0.19 μl RNase抑制剂,4.16 μl双蒸水;反应体系为20μl:1μl引物及探针Mix(20×),10μl TaqMan通用混合物溶液(2×),1.33 μl反向转录脱氧核糖核酸,7.67 μl双蒸馏水。采用 $2^{-\Delta\Delta Ct}$ 法计算miR-30a水平。

**1.3.2 D-二聚体检测:**采用贝克曼ACL 7000全自动凝血分析仪及配套试剂盒检测D-二聚体水平。

## 1.4 统计学分析

采用SPSS20.0统计软件,计量

表1

血浆miR-30a及D-二聚体水平预测AAD患者死亡的价值

项目	最佳截断值	AUC(95%CI)	敏感度(%)	特异度(%)	阳性预测值(%)	阴性预测值(%)	阳性似然比	阴性似然比
miR-30a	1.97	0.852(0.793~0.913)	86.0	81.7	83.5	84.2	4.699	0.171
D-二聚体	6.36 μg/ml	0.824(0.767~0.885)	83.5	78.0	81.2	80.6	3.795	0.212
两项联合	-	0.936(0.875~0.992)	94.0	88.6	92.4	90.2	8.246	0.068

## 3 讨论

急性主动脉夹层(AAD)是一种严重的致命性疾病,已成为严重危及人类生命健康的重要疾病

资料以均数±标准差( $\bar{x}\pm s$ )表示,采用校正t检验( $t'$ 检验)。计数资料组间比较采用 $\chi^2$ 检验。应用受试者工作特征曲线(ROC)分析血浆miR-30a及D-二聚体水平预测AAD死亡的价值。 $P<0.05$ 为差异有统计学意义。

## 2 结果

**2.1 AAD组和对照组血浆miR-30a及D-二聚体水平比较** AAD组血浆miR-30a( $1.93\pm 0.78$ )及D-二聚体( $6.28\pm 1.72 \mu g/ml$ )水平均明显高于对照组( $0.72\pm 0.25$ ,  $0.36\pm 0.08 \mu g/ml$ ),差异有统计学意义( $t=13.758$ ,  $16.814$ ,均 $P<0.001$ )。

**2.2 死亡组和存活组血浆miR-30a及D-二聚体水平比较** 死亡组血浆miR-30a( $2.42\pm 1.13$ )及D-二聚体( $8.62\pm 2.24 \mu g/ml$ )水平均明显高于存活组( $1.30\pm 0.56$ ,  $3.64\pm 1.35 \mu g/ml$ ),差异有统计学意义( $t=11.624$ ,  $14.735$ ,均 $P<0.001$ )。

**2.3 血浆miR-30a及D-二聚体水平预测AAD患者死亡的价值** 见表1和图1。血浆miR-30a及D-二聚体水平预测AAD患者死亡的最佳截断值分别为1.97, 6.36  $\mu g/ml$ 。两项联合预测AAD患者死亡的曲线下面积(0.936, 95%CI: 0.875~0.992)明显高于单项检测miR-30a(0.852, 95%CI: 0.793~0.913)及D-二聚体(0.824, 95%CI: 0.767~0.885),差异均有统计学意义(均 $P<0.05$ ),其敏感度和特异度分别为94.0%和88.6%。

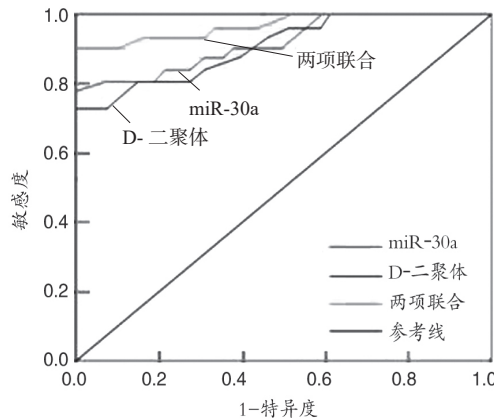


图1 血浆miR-30a及D-二聚体水平预测AAD患者死亡的ROC曲线

之一。miRNA在不同生理或病理状态下呈现差异性表达,具有组织器官特异性,可作为AAD诊断或预后预测的潜在标志物<sup>[5-6]</sup>。LI等<sup>[7]</sup>研究发现,

miRNA 在主动脉夹层组织中表达下调，且与 AAD 患者的生存有关，miRNA 的过表达促进血管平滑肌细胞增殖、抑制细胞凋亡，从而抑制 AAD 的发生发展。XUE 等<sup>[8]</sup>研究认为，miRNA 在主动脉夹层中的表达水平较对照组明显升高，miRNA 的过度表达通过靶向 SMAD4 诱导血管平滑肌细胞增殖和迁移，可能参与主动脉夹层的发生发展。D- 二聚体是反映机体内纤溶亢进、高凝状态的可靠标志物，在血栓性疾病的诊断中发挥了重要作用<sup>[9]</sup>。LI 等<sup>[10]</sup>研究表明，主动脉夹层患者 D- 二聚体显著升高，不同病期主动脉夹层的二聚体存在显著差异，并可反映主动脉夹层的稳定情况，在主动脉夹层的早期筛查中具有较好的价值。

本研究显示，AAD 组血浆 miR-30a 及 D- 二聚体水平均明显高于对照组，且死亡组血浆 miR-30a 及 D- 二聚体水平均明显高于存活组，提示血浆 miR-30a 及 D- 二聚体水平升高与 AAD 患者病情的严重程度有关，可能参与 AAD 的发生发展，有望作为判断 AAD 患者病情严重程度的生物学指标。分析其原因，一方面可能是 miR-30a 通过调控多个信号通路，如细胞增殖、迁移及血管炎症等，参与了 AAD 的发病机制；另一方面死亡的 AAD 患者主动脉中层撕裂程度较严重，激活凝血系统及后续的纤溶过程比较活跃，使血浆中 D- 二聚体水平升高。WANG 等<sup>[11]</sup>研究发现，miRNA 的过度表达显著降低了多囊蛋白 -1 和转化生长因子 - $\beta$ 1 下游靶蛋白的表达，对 AAD 的早期诊断具有较高特异度和敏感度，miRNA 可作为 AAD 的诊断标志物，并可能参与 AAD 的发病机制。潘小高等<sup>[12]</sup>研究认为，D- 二聚体水平升高是 AAD 患者院内死亡的独立危险因素 (OR=1.04, 95%CI:1.00 ~ 1.08, P<0.05)，是预测 AAD 预后的可靠指标。

本研究进一步应用 ROC 曲线分析，结果显示 miR-30a 及 D- 二聚体两项联合预测 AAD 死亡的 AUC 最大，其敏感度和特异度较好，说明 miR-30a 及 D- 二聚体可能是 AAD 预后判断的可靠指标，两项联合检测对 AAD 预后判断的价值较高。DONG 等<sup>[13]</sup>研究显示，AAD 患者 miRNA 表达水平明显高于对照组，与 AAD 严重程度相关，miRNA 在诊断 AAD 中具有良好的临床应用价值。湛镇伊等<sup>[14]</sup>研究发现，miRNA 的差异表达在 AAD 的发生及发展过程中起着重要作用，可能是 AAD 的潜在诊断标志物，同时也为了解 AAD 的发病机制及治疗提供新的指导。另有研究表明，AAD 患者的 D- 二聚体水平升高，检测 D- 二聚体水平是排除 AAD 的良好预测指标，对 AAD 鉴别诊断具有重要的意义<sup>[15]</sup>。

综上所述，AAD 患者血浆 miR-30a 及 D- 二聚

体水平明显升高，其水平升高与 AAD 患者的病情严重程度及预后相关，两项联合检测弥补了单项检测的不足，对 AAD 预后判断具有较好价值，同时也为 AAD 的早期治疗提供了新的思路。但本研究仍存在一些不足，如病例来源较单一，缺乏多中心的研究结果，未来仍需更进一步深入研究。

#### 参考文献：

- [1] WEN Miaoyn, HAN Yongli, YE Jingkun, et al. Perioperative risk factors for in-hospital mortality in acute type A aortic dissection[J]. Journal of Thoracic Disease, 2019, 11(9): 3887-3895.
- [2] SBAROUNI E, GEORGIAOU P. MicroRNAs in acute aortic dissection[J]. Journal of Thoracic Disease, 2018, 10(3): 1256-1257.
- [3] YU Yang, SHI Enyi, GU Tianxiang, et al. Overexpression of microRNA-30a contributes to the development of aortic dissection by targeting lysyl oxidase[J]. The Journal of Thoracic and Cardiovascular Surgery, 2017, 154(6): 1862-1869.
- [4] HAN Lu, DAI Lu, LI Haiyang, et al. Elevated D-dimer increases the risk of dialysis after surgery in patients with stanford A aortic dissection through the impact of the coagulation system[J]. Journal of Thoracic Disease, 2018, 10(12): 6783-6793.
- [5] XU Zhenjun, WANG Qiang, PAN Jun, et al. Characterization of serum miRNAs as molecular biomarkers for acute stanford type A aortic dissection diagnosis[J]. Scientific Reports, 2017, 7(1): 13659.
- [6] DU Pengcheng, DONG Jian, ZHANG Lei, et al. Diagnostic implication of circulating microRNAs in acute aortic dissection[J]. Journal of Thoracic Disease, 2018, 10(8): E659-E660.
- [7] LI Tianbo, LIU Chengcheng, LIU Lingchao, et al. Regulatory mechanism of microRNA-145 in the pathogenesis of acute aortic dissection[J]. Yonsei Medical Journal, 2019, 60(4): 352-359.
- [8] XUE Ling, LUO Songyuan, DING Huanyu, et al. Upregulation of miR-146a-5p is associated with increased proliferation and migration of vascular smooth muscle cells in aortic dissection[J]. Journal of Clinical Laboratory Analysis, 2019, 33(4): e22843.
- [9] ZADVOREV S F, ZAMYTSKAYA A A, PISKUNOV D P, et al. Plasma D-dimer volume as a subclinical marker of thrombotic risk in elderly patients with atrial fibrillation[J]. Advances in Gerontology, 2019, 32(3): 415-421.
- [10] LI Shuangshuang, DONG Jian, ZHANG Lei, et al. Diagnostic implication of fibrin degradation products and D-dimer in aortic dissection-author's reply[J]. Journal of Thoracic Disease, 2017, 9(10): E941-E942.
- [11] WANG Lei, ZHANG Shijie, XU Zhigao, et al. The diagnostic value of microRNA-4787-5p and microRNA-4306 in patients with acute aortic dissection[J]. American Journal of Translational Research, 2017, 9(11): 5138-5149.

- [12] 潘小高,柴湘平,杨贵芳,等.D-二聚体联合纤维蛋白降解产物预测急性主动脉夹层院内死亡风险的研究[J].中国循环杂志,2020,35(7):660-664.  
PAN Xiaogao, CHAI Xiangping, YANG Guifang, et al. Value of D-dimer combined with fibrin degradation products at admission in predicting the risk of in-hospital death in patients with acute aortic dissection [J]. Chinese Circulation Journal, 2020, 35 ( 7 ): 660-664.
- [13] DONG Jian, BAO Junmin, FENG Rui, et al. Circulating microRNAs: a novel potential biomarker for diagnosing acute aortic dissection[J]. Scientific Reports, 2017, 7(1): 12784.
- [14] 湛镇伊,杨建安,刘银河.微小RNA在主动脉夹层中差异性表达与发病机制的研究进展[J].中国动脉硬化杂志,2019,27(10):910-914.
- ZHAN Zhenyi, YANG Jian'an, LIU Yinhe. Research progress on differential expression of microRNAs and pathogenesis in aortic dissection [J]. Chinese Journal of Arteriosclerosis, 2019, 27 (10): 910-914.
- [15] 于鑫溢,王博,裴宇,等.血浆D-二聚体水平在急性Stanford A型主动脉夹层与非ST段抬高型心肌梗死鉴别中的意义[J].中国现代医学杂志,2020,30(6):36-40.  
YU Xinyi, WANG Bo, PEI Yu, et al. Significance of plasma D-dimer content in the differentiation between acute stanford type A aortic dissection and non-ST-segment elevation myocardial infarction [J]. China Journal of Modern Medicine, 2020, 30 (6): 36-40.

收稿日期: 2021-01-22

修回日期: 2021-08-09

(上接第186页)

- [13] DEUTSCHLANDER A B, KONNO T, SOTOBEASLEY A, et al. Association of MAPT subhaplotypes with clinical and demographic features in Parkinson's disease[J]. Annals of Clinical and Translational Neurology, 2020, 7(9): 1557-1563.
- [14] 钟瑞霞,秦雅静,陈忠彦,等.帕金森病发病机制及其早期诊断的研究进展[J].中国综合临床,2019, 35(3):276-280.  
ZHONG Ruixia, QIN Yajing, CHEN Zhongyan, et al. Progress in pathogenesis and early diagnosis of Parkinson's disease [J]. Clinical Medicine of China, 2019, 35(3):276-280.
- [15] KARUPPUCHAMY T, TYLER C J, LUNDBORG L R, et al. Sphingosine1 phosphate lyase inhibition alters the S1P gradient and ameliorates crohn's like ileitis by suppressing thymocyte maturation[J]. Inflammatory Bowel Diseases, 2020, 26(2): 216-228.
- [16] 张灵玲,熊大迁,葛一漫,等.血清载脂蛋白M与1磷酸鞘氨醇在细菌性血流感染中的表达及相关性研究[J].现代检验医学杂志,2019, 34(5):56-58, 63.  
ZHANG Lingling, XIONG Daqian, GE Yiman, et al. Expression and correlation of serum apolipoprotein M and sphingosine 1-phosphate in bacterial bloodstream infection [J]. Journal of Modern Laboratory Medicine, 2019, 34(5):56-58, 63.
- [17] ESAKI K, BALAN S, IWAYAMA Y, et al. Evidence for altered metabolism of sphingosine1 phosphate in the corpus callosum of patients with schizophrenia[J]. Schizophrenia Bulletin, 2020, 46(5): 1172-1181.
- [18] DIRR E, EKHATOR O R, BLACKWOOD R, et al. Exacerbation of sensorimotor dysfunction in mice deficient in Atp13a2 and overexpressing human wildtype alpha-synuclein[J]. Behavioural Brain Research, 2018, 343(1): 41-49.
- [19] 李智,高燕.单核细胞/高密度脂蛋白胆固醇值与冠心病关系研究进展[J].临床误诊误治, 2019, 32 (2) : 103-106.  
LI Zhi, GAO Yan. Research progress on the relationship between monocyte / high density lipoprotein cholesterol and coronary heart disease[J]. Clinical Misdiagnosis & Mistherapy, 2019, 32(2):103-106.
- [20] YANG Wanlin, CHANG Zihan, QUE Rongfang, et al. Contra directional expression of plasma superoxide dismutase with lipoprotein cholesterol and high sensitivity creatine kinase as important markers of Parkinson's disease severity[J]. Frontiers in Aging Neuroscience, 2020, 12(1): 53.
- [21] WAMELEN D J, TADDEI R N, CALVANO A, et al. Serum uric acid levels and non-motor symptoms in Parkinson's disease[J]. Journal of Parkinson's Disease, 2020, 10(3): 1003-1010.
- [22] SI Xu, LI Yibo, JIANG Yugang, et al.  $\gamma$ -Aminobutyric acid attenuates high-fat diet-induced cerebral oxidative impairment via enhanced synthesis of hippocampal sulfatides[J]. Journal of Agricultural and Food Chemistry, 2019, 67(4): 1081-1091.
- [23] 张照婷,陈皆春,华平,等. $\alpha$ 突触核蛋白基因多态性与汉族帕金森病患者病情进展的相关性研究[J].中国临床神经科学, 2020, 28(1):21-26.  
ZHANG Zhaoting, CHEN Jiechun, HUA Ping, et al. Association between SNCA gene polymorphism and Parkinson's disease in Han population [J]. Chinese Journal of Clinical Neurosciences , 2020, 28(1):21-26.
- [24] 刘茹,张素芬,李红军,等.帕金森病患者认知功能障碍的危险因素分析[J].河北医科大学学报, 2019, 40(10):1211-1213.  
LIU Ru, ZHANG Sufen, LI Hongjun, et al. Analysis of risk factors of cognitive dysfunction in patients with Parkinson's disease[J]. Journal of Hebei Medical University, 2019, 40(10):1211-1213.

收稿日期: 2021-07-05

修回日期: 2022-01-20